

О ТОЧНОМ РЕШЕНИИ ОСНОВНЫХ УРАВНЕНИЙ КАСКАДНОЙ ТЕОРИИ

B. C. Сынах

Даны точные численные решения основных уравнений каскадной теории, полученные методом функциональных преобразований, в области малых глубин (вплоть до двух радиационных единиц длины).

Как известно (см. [1]), исходные уравнения каскадной теории могут быть записаны в виде

$$\frac{\partial P(t, E)}{\partial t} = 2 \int_E^{\infty} \Gamma(t, E') W_p(E', E) dE' + \\ + \int_E^{\infty} P(t, E') W_e(E', E - E) dE' - \int_0^E P(t, E) W_e(E, E') dE', \quad (1a)$$

$$\frac{\partial \Gamma(t, E)}{\partial t} = \int_E^{\infty} P(t, E') W_e(E', E) dE' - \int_0^E \Gamma(t, E) W_p(E, E') dE'. \quad (1b)$$

Здесь t — глубина в радиационных единицах длины; $P(t, E)dE$ — суммарное число электронов и позитронов в интервале энергии $(E, E + dE)$ на глубине t ; $\Gamma(t, E)$ — аналогичная функция распределения для фотонов; $W_p(E', E)dE'$ — вероятность рождения фотоном энергии E' пары с энергией позитрона в интервале $(E, E + dE)$, отнесенная к радиационной единице длины; $W_e(E, E')dE'$ — вероятность испускания электроном или позитроном энергии E тормозного кванта в интервале $(E', E' + dE')$, отнесенная также к радиационной единице длины.

С учетом только поля ядра в ультратрелевтистском пределе для больших параметров соударения, существенных в этом случае, в борновском приближении функции W_e и W_p имеют вид [2]

$$W_e(E, E')dE' = [1 + (1 - E'/E)^2 - \frac{2}{3}(1 - E'/E)] dE', \quad (2a)$$

$$W_p(E', E)dE = [(E/E')^2 + (1 - E/E')^2 + \frac{2}{3}(E/E')(1 - E/E')] dE/E'. \quad (2b)$$

При записи системы уравнений (1) не учтены комптон-эффект и фотоэффект для фотонов, резерфордовское рассеяние для позитронов и электронов, аннигиляция пар и другие процессы, не существенные при высоких энергиях. В (2) не учтены рождение пар и тормозное излучение в поле атомных электронов. Вклад последних для тяжелых элементов не превышает 1% общих эффектов.

Для решения системы интегро-дифференциальных уравнений (1) обычно применяют либо метод функциональных преобразований, либо метод моментов (см. [3]). Последний по своей природе является приближенным и имеет ограниченную область применимости. Что касается метода функциональных преобразований, то он позволяет, в принципе, получить все представляющие интерес величины, но получающиеся выражения могут

быть аналитически вычислены лишь при $t > 1$. В настоящей работе получены точные численные решения системы уравнений (1) в области толщин до $t = 2$.

Как показано, например, в обзоре Беленьского и Иваненко [3], решение системы (1) с помощью преобразования Лапласа—Меллина при граничных условиях

$$P(t=0, E) = \delta(E - E_0), \quad \Gamma(t=0, E) = 0$$

имеет вид

$$P(t, E) = \frac{1}{2\pi i E} \int_{\delta-i\infty}^{\delta+i\infty} \left(\frac{E_0}{E}\right)^s \left[\frac{\sigma + \lambda_1}{\lambda_1 - \lambda_2} e^{\lambda_1 t} - \frac{\sigma + \lambda_2}{\lambda_1 - \lambda_2} e^{\lambda_2 t} \right] ds, \quad (3)$$

$$\Gamma(t, E) = \frac{1}{2\pi i E} \int_{\delta-i\infty}^{\delta+i\infty} \left(\frac{E_0}{E}\right)^s \frac{C(s)}{\lambda_1 - \lambda_2} (e^{\lambda_1 t} - e^{\lambda_2 t}) ds$$

явные выражения для функций $\lambda_1(s)$, $\lambda_2(s)$ и $C(s)$ приведены, например, в книге Беленьского [1]).

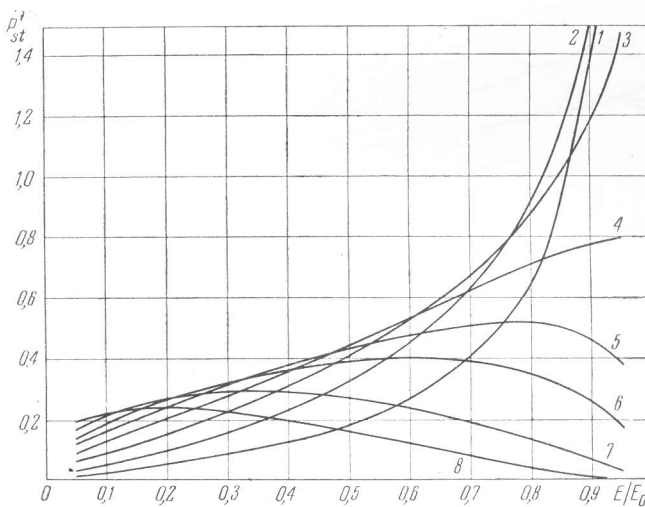


Рис. 1. Кривые P'_{st} отвечают значениям t : 1 — 0,2; 2 — 0,4; 3 — 0,6; 4 — 0,8; 5 — 1,0; 6 — 1,2; 7 — 1,6; 8 — 2,0.

Здесь σ — коэффициент поглощения γ -квантов. Как обычно, принято, что σ равно своему ультраквантому пределу $\sigma = 0,773$. Интегрирование в (3) проводится в комплексной плоскости вдоль прямой, параллельной мнимой оси, при условии $\delta > 0$.

В каскадной теории рассматривается также величина $N(t, E)$, т. е. полное число электронов и позитронов на глубине t с энергией, превышающей E :

$$N(t, E) = \int_E^\infty P(t, E) dE = \frac{1}{2\pi i} \int_{\delta-i\infty}^{\delta+i\infty} \left(\frac{E_0}{E}\right)^s \left[\frac{\sigma + \lambda_1}{\lambda_1 - \lambda_2} e^{\lambda_1 t} - \frac{\sigma + \lambda_2}{\lambda_1 - \lambda_2} e^{\lambda_2 t} \right] \frac{ds}{s}. \quad (4)$$

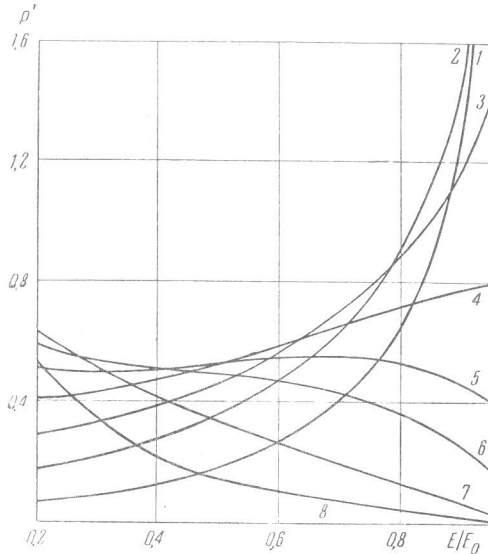
Интерес представляет и распределение начальных электронов по энергиям после прохождения слоя толщины t . Оказывается, что известное в литературе выражение Бете — Гайтлера [2] для вероятности того, что электрон с начальной энергией E_0 будет иметь энергию между E и

$E + dE$ по прохождении толщины t ,

$$P_{st}^{\Gamma-\Gamma}(t, E) dE = \frac{dE}{E_0} \left(\ln \frac{E_0}{E} \right)^{t/\ln 2 - 1} / \Gamma \left(\frac{t}{\ln 2} \right), \quad (5)$$

является довольно грубым приближением.

Чтобы получить уравнение для P_{st} в рамках каскадной теории, достаточно, очевидно, в правой части (1а) оставить лишь члены, описывающие радиационное торможение:



$$\begin{aligned} \frac{\partial P_{st}}{\partial t} &= \\ &= \int_E^{\infty} P_{st}(t, E) W_e(E', E' - E) dE' - \\ &- \int_0^E P_{st}(t, E) W_i(E, E') dE', \end{aligned} \quad (6)$$

Рис. 2. Кривые P' отвечают тем же значениям t , что и на рис 1

откуда с помощью преобразования Лапласа — Меллина легко получить

$$P_{st}(t, E) = \frac{1}{2\pi i E} \int_{\delta-i\infty}^{\delta+i\infty} \left(\frac{E_0}{E} \right)^s e^{-A(s)t} ds. \quad (7)$$

(Явное выражение для $A(s)$ см. в [1].)

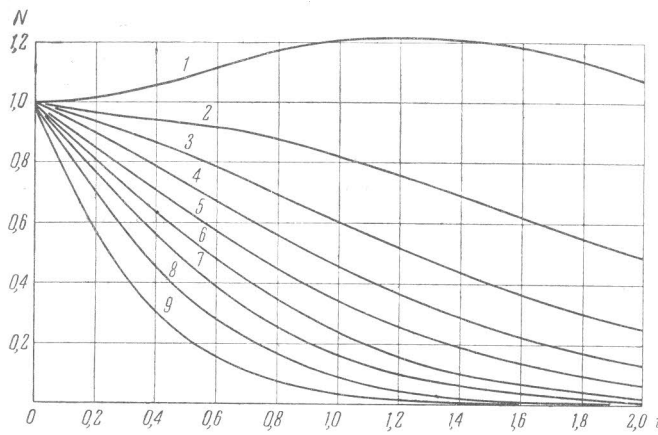


Рис. 3. Кривые N отвечают значениям E/E_0 : 1 — 0,1; 2 — 0,2; 3 — 0,3; 4 — 0,4; 5 — 0,5; 6 — 0,6; 7 — 0,7; 8 — 0,8; 9 — 0,9

Из (3) и (7) легко получается функция распределения P_+ вторичных электронов (позитронов) по энергиям на глубине t :

$$P_+(t, E_+) = \frac{1}{2} [P(t, E_+) - P_{st}(t, E_+)]. \quad (8)$$

Приведенные выражения для P , P_{st} , P_+ , N , Γ вычислялись на электронно-счетной машине с точностью $\sim 1\%$. Результаты приведены на рис. 1—6. Графики приведены для «штрихованных» величин, оказавшихся более удобными для вычисления. Последние определены таким образом, что, например, $P(t, E) = P'(t, E) dE/E$ и т. д.

Энергия всюду измеряется в единицах начальной энергии E_0 .

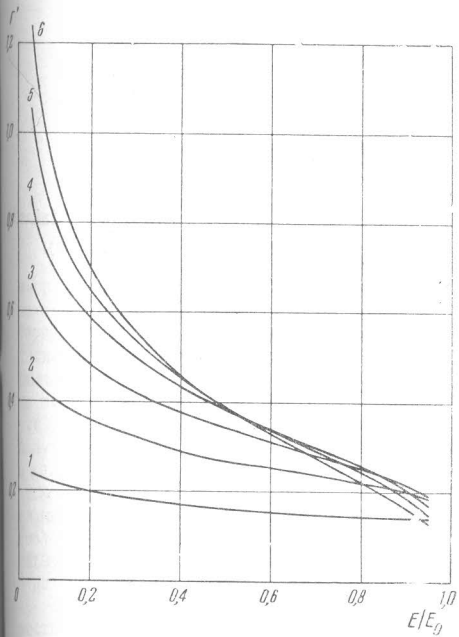


Рис. 4]

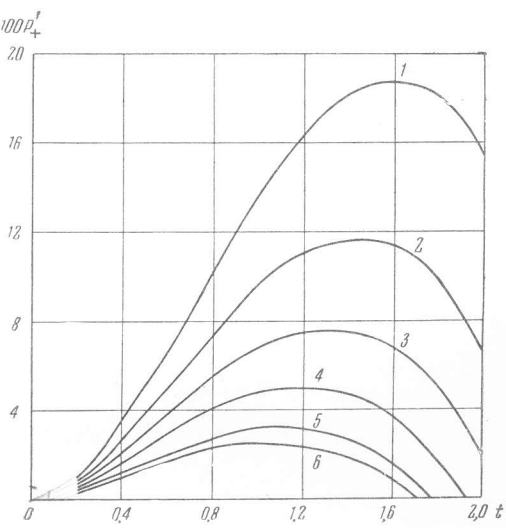


Рис. 5

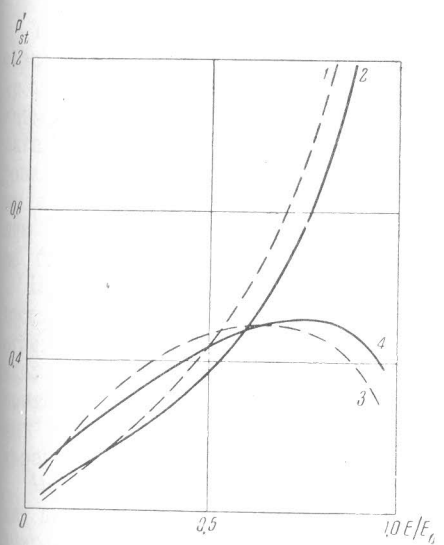


Рис. 6

Рис. 4. Кривые Γ' отвечают значениям t :
1 — 0,2; 2 — 0,4; 3 — 0,6; 4 — 0,8; 5 — 1,0;
6 — 1,2

Рис. 5. Кривые P'_+ отвечают значениям E/E_0 :
1 — 0,2; 2 — 0,3; 3 — 0,4; 4 — 0,5; 5 — 0,6;
6 — 0,7

Рис. 6. Кривые P'_{st} : 1 и 3 — по формуле Бете — Гайтлера (5), 2 и 4 — по (7). Для кривых 1 и 2 значение $t=0,5$; для кривых 3 и 4 $t=1$

В заключение автор выражает благодарность З. Д. Доброхотовой и Б. И. Шитикову за помощь в решении задачи, Г. И. Будкеру и В. Н. Байеру за обсуждение результатов и Л. Добровинской за помощь в оформлении чертежей.

Поступила в редакцию
8 июля 1960 г.

Литература

- [1] С. З. Б е л е н ь к и й. Лавинные процессы в космических лучах, Гостехиздат, 1948.
- [2] В. Г а й т л е р. Квантовая теория излучения, ИИЛ, 1956.
- [3] С. З. Б е л е н ь к и й, И. П. И в а н е н к о. УФН, 29, 591, 1959.

**ON THE EXACT SOLUTION OF THE BASIC CASCADE THEORY
EQUATIONS***V. S. Synakh*

Exact numerical solutions of the basic cascade theory equations are given which are obtained by the functional transformation method for small depths (up to two radiation lengths).